

แบบจำลองเชิงพื้นที่สำหรับวิเคราะห์การแพร่กระจายความเข้มข้นของฝุ่นละอองขนาดเล็กกว่า 10 ไมครอนในพื้นดินแบบ จังหวัดเลย ขอนแก่น และนครราชสีมา

## Spatial Model to Analyze Concentration Dispersion of Particle Matter with a Diameter of Less Than 10 Micron in Loei, KhonKaen and Nakhon Ratchasima Province

ปฏิวัติ ฤทธิเดช<sup>1</sup>

Patiwat Littidej<sup>1</sup>

Received: 28 September 2016 ; Accepted: 18 January 2017

### บทคัดย่อ

อนุภาคฝุ่นละอองขนาดเล็กกว่า 10 ไมครอนเป็นปัญหาที่ส่งผลต่อคุณภาพอากาศในภาคตะวันออกเฉียงเหนือของไทย ในกรณีที่เกิดไฟไหม้ป่ามูลความเข้มข้นพื้นฐานจากสถานีตรวจวัด และข้อมูลภาพถ่ายดาวเทียม Terra/Aqua ระบบเซ็นเซอร์ MODIS ที่ครอบคลุมพื้นที่ดินแบบจังหวัด ขอนแก่น เลยและนครราชสีมา รวมทั้งแบบจำลองทดสอบแบบถ่วงน้ำหนักภูมิศาสตร์สำหรับสร้างแผนที่ความเข้มข้นมลพิษ โดยมีวัดคุณประสิทธิ์ 2 ประการ คือ 1) เพื่อสร้างแบบจำลองความสัมพันธ์ความเข้มข้นฝุ่นละอองขนาดเล็กกว่า 10 ไมครอนกับข้อมูลของสถานีวัด 2) เพื่อสร้างแผนที่ความเข้มข้นของฝุ่นละอองขนาดเล็กกว่า 10 ไมครอนและวิเคราะห์การแพร่กระจายโดยการใช้ข้อมูลค่าสะท้อนพื้นผิวจากชุดผลิตภัณฑ์ MOD09 หากความสัมพันธ์กับข้อมูลปริมาณ  $PM_{10}$  ที่ได้จากสถานีตรวจน้ำดูน้ำคุณภาพอากาศจำนวน 3 สถานีของทั้ง 3 จังหวัดด้วยสมการทดสอบแบบได้แก่แบบจำลองทดสอบแบบคิวบิกแบบจำลองทดสอบแบบเอ็กซ์โพเนนเชียลและการทดสอบเชิงเส้นแบบพหุผลการวิจัยพบว่าการใช้ข้อมูลค่าสะท้อนพื้นผิวสมการทดสอบเชิงเส้นแบบพหุให้ค่าสัมประสิทธิ์ตัวกำหนด ( $R^2$ ) สูงที่สุดมีค่าเท่ากับ 0.742 โดยสร้างแบบจำลองจากแบบที่ 3 และแบบที่ 4 และเมื่อนำสมการไปคำนวณกับค่าความสว่างของภาพถ่ายดาวเทียมแล้วและประเมินความสัมพันธ์ของค่าความเข้มข้นมลพิษที่คำนวณได้จากแบบจำลองกับค่าที่วัดได้จริงด้วยค่ารากที่สองของค่าเฉลี่ยของความคลาดเคลื่อนกำลังสอง (RMSE) พบว่ามีความสัมพันธ์กัน

**คำสำคัญ:** การสร้างแบบจำลองเชิงพื้นที่ อนุภาคฝุ่นละอองขนาดเล็กกว่า 10 ไมครอน ภาพดาวเทียมTerra/Aqua

### Abstract

Particulate matter diameter of less than 10 micron ( $PM_{10}$ ) is one of the most important air quality concerns in northeastern Thailand. In this study we integrate ground-based measurements and satellite data to map temporal  $PM_{10}$  concentrations for the entire provinces of Khon Kaen, Loei, and Nakhon Ratchasima. We specifically used MODIS Aqua and Terra data and Geographic Weighted Regression (GWR) models for mapping and extending the ground-based PM concentrations. The purposes of this study were 1) devise spatial modeling for  $PM_{10}$  concentration assessment 2)  $PM_{10}$  concentration mapping. The method used surface reflectance which can be obtained from MODIS product MOD09, in correlation with  $PM_{10}$  values obtained from 3 ground measurement stations of the Pollution Control Department (PCD) by using 3 regression types: cubic models, exponential models and multiple linear models. The result shows that ( $R^2$ ) calculated by multiple linear models between 2 bands (3 and 4) of surface reflectance and

<sup>1</sup> อาจารย์, หลักสูตรภูมิสารสนเทศ คณะวิทยาการสารสนเทศ มหาวิทยาลัยมหาสารคาม อำเภอแก้งกุงแวง จังหวัดมหาสารคาม

<sup>1</sup> Lecturer, School of Geo-informatics, Faculty of Informatics, Mahasarakham University, Kantharawichai District, Mahasarakham 44150, Thailand. Corresponding author; PatiwatLittidej, School of Geo-informatics, Faculty of Informatics, Mahasarakham University, Kantharawichai District, Mahasarakham 44150, patiwat\_noof@hotmail.com. Mobile: 085-8587011

$\text{PM}_{10}$  values, has a high value of 0.742 and is highly correlated using regression. RMSE calculation and verification of the concentration values obtained from the equations with the values from ground measurement was conducted. In consequence, the generated  $\text{PM}_{10}$  is correlated with the values from ground measurement.

**Keywords:** Spatial modeling, Particulate matter diameterless than 10 micron, Terra/Aqua imagery

บทนำ

ภาคตะวันออกเฉียงเหนือของประเทศไทยประสบปัญหา  
มลภาวะหมอกควันในช่วงฤดูแล้งของทุกปีจากสถานการณ์  
มลพิษในอากาศที่ผ่านมาพบว่าภาคตะวันออกเฉียงเหนือเป็น  
พื้นที่ที่มีปริมาณฝุ่นละอองในอากาศมากเป็นอันดับสองรอง  
จากภาคเหนือส่วนใหญ่ของควันปมกลุ่มพื้นที่ภาคตะวันออก  
เฉียงเหนือเป็นบริเวณกว้างอีกทั้งสภาพภูมิประเทศของบาง  
จังหวัดในภาคตะวันออกเฉียงเหนือมีภูเขาล้อมรอบถ้ำหากมี  
กิจกรรมการเผาจะทำให้มลพิษต่างๆ และฝุ่นละอองจะถูกกักขัง  
ในพื้นที่นั้นนานขึ้นซึ่งเกิดจากการเผาพื้นที่เกษตรกรรมเพื่อ  
เตรียมดินทำการเกษตรและสถานการณ์ไฟไหม้ป่าทำให้เกิด  
หมอกฝุ่นควันขึ้นเมื่อผลกระทบต่อทัศนวิสัยในการมองเห็นและ  
ทำให้มีผู้ป่วยโรคระบบทางเดินหายใจสูงขึ้นมาก<sup>1,2</sup> ปริมาณฝุ่น  
ละอองในอากาศจัดเป็นตัวแปรที่สำคัญที่ก่อให้เกิดมลภาวะ  
ทางอากาศที่สามารถวัดได้จากค่า PM<sub>10</sub> ซึ่งในปี 2552 ตรวจ  
พบปริมาณ PM<sub>10</sub> ในอากาศที่ในจังหวัดเลยสูงสุดเกินมาตรฐาน  
ในช่วงเดือนกุมภาพันธ์ 2552 ซึ่งสูงถึง 268 ไมโครกรัมต่อ  
ลูกบาศก์เมตร<sup>1</sup> และในปี 2553 ตรวจพบปริมาณ PM10 ใน  
อากาศในปริมาณสูงที่สุดที่จังหวัดหนองบัวลำภูในช่วงกลาง  
เดือนมีนาคม 2553 ซึ่งสูงถึง 318.5 ไมโครกรัมต่อลูกบาศก์  
เมตร<sup>1</sup> การตรวจวัดดังกล่าวเป็นการตรวจวัดโดยสถานีตรวจวัด  
คุณภาพอากาศภาคพื้นดินซึ่งพื้นที่ภาคตะวันออกเฉียงเหนือ  
มีทั้งหมด 3 สถานีแต่ข้อมูลที่ได้เป็นข้อมูลเพียงบางจุดและไม่  
ครอบคลุมทั้งพื้นที่และบางครั้งอาจได้รับข้อมูลไม่ครบถ้วน  
เนื่องจากระบบสื่อสารขัดข้องและอาจเกิดความล่าช้าในการได้  
มาซึ่งข้อมูลหากใช้ข้อมูลดาวเทียมในการประเมินปริมาณ  
PM<sub>10</sub> ในอากาศจะทำให้ได้ผลการตรวจปมกลุ่มพื้นที่ขนาดใหญ่  
ทั้งยังเป็นข้อมูลสนับสนุนการจัดการทรัพยากรากอากาศหรือ  
เดือนภัยพืชติดจากสถานการณ์หมอกควันแก่ประชาชนได้โดย  
ดาวเทียมที่โครงการผ่านประเทศไทยทุกวันและถ่ายภาพครอบคลุม  
ทั้งประเทศไทยโดยภาพด้วยกันโดยในการศึกษาครั้งนี้เน้น  
เฉพาะดาวเทียม Terra/Aqua ระบบเซ็นเซอร์ MODIS  
(Moderate Resolution Imaging Spectra radiometer) ซึ่งเป็น  
เครื่องวัดคลื่นแสงเชิงสเปกตรัมที่ถูกติดตั้งบนดาวเทียม Terra และ Aqua  
ถูกออกแบบขึ้นเพื่อใช้ในการติดตามและตรวจสอบข้อมูล  
ทรัพยากรธรรมชาติและสามารถบันทึกข้อมูลครอบคลุมพื้นที่  
ทั่วโลกได้ภายใน 2 วัน<sup>3</sup> จึงมีความเหมาะสมที่จะนำมาใช้ในการ

ตรวจหาปริมาณ PM10 จากเหตุผลและความจำเป็นดังกล่าว การศึกษาครั้งนี้จึงมุ่งเน้นการประยุกต์ใช้ข้อมูลดาวเทียมเพื่อ ตรวจหาปริมาณ PM<sub>10</sub> สำหรับพื้นที่ภาคตะวันออกเฉียงเหนือ โดยพิจารณาความสัมพันธ์กันของข้อมูลที่ได้จากสถานีตรวจวัดคุณภาพอากาศภาคพื้นดินกับข้อมูลสภาพถ่ายดาวเทียมโดย การใช้สมการรถถอยเพื่อให้ได้มาซึ่งแบบจำลองที่มีความเหมาะสมต่อการตรวจหาปริมาณ PM10 และใช้เทคนิควิธีทางระบบสารสนเทศภูมิศาสตร์ (GIS) ในการจัดการข้อมูลและสร้างแผนที่แสดงปริมาณ PM<sub>10</sub> ในภาคต่อไป งานวิจัยที่ผ่านมา มีการประยุกต์ใช้ภาพถ่ายดาวเทียมดาวเทียม Terra/Aqua ระบบเซ็นเซอร์ MODIS มาใช้ศึกษาถึงความสัมพันธ์กับปริมาณ PM<sub>10</sub> ของสถานีตรวจวัด<sup>4</sup> ได้ศึกษาหาปริมาณผลกระทบในอากาศในประเทศไทยเช่นเดียวกับฝุ่นละอองขนาดเล็ก (PM<sub>10</sub>), ชัลเพอร์ไดออกไซด์ (SO<sub>2</sub>) ในโตรเจนไดออกไซด์ (SO<sub>2</sub>) คาร์บอนมอนอกไซด์ (CO) และ โอโซน (O<sub>3</sub>) ด้วยการหาความสัมพันธ์กันระหว่างผลการตรวจวัดผลกระทบทางอากาศจากสถานีภาคพื้นดิน กับค่าการสะท้อนของดาวเทียม NOAA-14 AVHRRแบบที่ 1 และ แบบที่ 2 โดยใช้สมการรถถอย 8 แบบ ได้แก่ linear, logarithmic, quadratic, cubic, power, S-curve, exponential, และ multiple linear ซึ่งพบว่า การหาปริมาณ PM<sub>10</sub>, SO<sub>2</sub>, NO<sub>2</sub> ใช้สมการรถถอยแบบ cubic ให้ค่า RMSE เท่ากับ 33, 18 และ 11 ตามลำดับ ส่วนการหาปริมาณ CO ใช้สมการรถถอยแบบ Power ให้ค่า RMSE เท่ากับ 13 และการหาปริมาณ O<sub>3</sub> ใช้สมการรถถอยแบบ Quadratic ให้ค่า RMSE เท่ากับ 10 แล้วจึงนำสมการที่ได้ร่วมกับเทคนิคทางภูมิสารสนเทศ สร้างแผนที่ปริมาณมลพิษในอากาศเพื่อสามารถประเมินปริมาณมลพิษในอากาศในบริเวณกว้างได้ ได้ทำแผนที่ระดับความเข้มข้นของฝุ่นละอองที่มีขนาดเล็กกว่า 10 ไมครอน (PM<sub>10</sub>) บริเวณเมือง Lisbon โดยใช้ความสัมพันธ์ระหว่างค่าความลึกเชิงแสงของชั้นบรรยากาศ ที่ได้รับจากดาวเทียมเซ็นเซอร์ MODIS Level 1B และปริมาณ PM<sub>10</sub> ที่ได้รับจากสถานีตรวจวัดคุณภาพอากาศภาคพื้นดิน โดยการหาความสัมพันธ์กันของข้อมูลจากการเชิงเส้นตรง และทำแผนที่ปริมาณ PM<sub>10</sub> ด้วยการประมาณค่าข้อมูลเชิงพื้นที่ (Spatial Interpolation) ซึ่งการหาความสัมพันธ์เชิงเส้นของข้อมูลนั้น ใช้ข้อมูลภาพถ่ายดาวเทียมแบบที่ 1 ที่มีความยาวคลื่น 620 – 670 นาโนเมตร และมีความละเอียดเชิงพื้นที่ 250

เมตร ความสัมพันธ์ของแบบจำลองมีค่า  $R^2 = 0.77$  และทำแผนที่ปริมาณ  $PM_{10}$  ในอากาศด้วยการประมาณค่าข้อมูลด้วยวิธี Ordinary krigingพบว่าค่า  $PM_{10}$  ที่สูงๆ ส่วนใหญ่จะกระจายตัวอยู่ในพื้นที่ที่มีลักษณะเป็นแอ่งและห้อมล้อมด้วยภูเขา<sup>6</sup> หากความสัมพันธ์เชิงเส้นระหว่างข้อมูลช่วงคลื่นความร้อนของดาวเทียม Landsat 5 TM และข้อมูลที่วัดได้จากภาคพื้นดินโดยใช้สิ่งการถอดถ่ายในการเชื่อมความสัมพันธ์กันของค่า Digital Number (DN Value) และค่าปริมาณ  $PM_{10}$  ที่วัดได้ซึ่งจากการศึกษาพบว่า ค่าทั้งสองมีความสัมพันธ์กันอย่างมากและมีค่า (RMSE) ที่ต่ำ<sup>7</sup> ศึกษาความสัมพันธ์ระหว่างค่าการสะท้อนพื้นผิว (Surface Reflectance, SR) และค่าความลึกเชิงแสง (Aerosol Optical Thickness, AOT) ของภาคดาวเทียม Terra/Aqua ระบบเซ็นเซอร์ MODIS กับปริมาณ  $PM_{10}$  เปรียบเทียบผลกับค่าที่ได้สถานีตรวจวัดมลพิษในอากาศภาคพื้นดินจำนวน 5 สถานี ในพื้นที่ จากการศึกษาพบว่า สมประสิทธิ์สหสัมพันธ์ระหว่างข้อมูลทั้ง SR และ AOT เปรียบเทียบกับข้อมูลของสถานีพื้นดินอยู่ที่ 0.68 – 0.79 และสหสัมพันธ์ระหว่าง SR และ AOT มีค่าอยู่ระหว่าง 0.71-0.76<sup>8</sup> ซึ่งมีความสัมพันธ์กันอยู่ในระดับที่ยอมรับได้ ได้ใช้ข้อมูลค่า SR จากผลิตภัณฑ์ MOD09 ของดาวเทียมเซนเซอร์ MODIS ในการศึกษาภาวะอากาศ ของประเทศไทย กรณีศึกษาบริเวณกรุงเทพมหานคร โดยการหาความสัมพันธ์กับระหว่าง SR กับค่า  $PM_{10}$  ที่ตรวจวัดได้จากสถานีตรวจวัดคุณภาพอากาศ ทั้ง 12 สถานีด้วยวิธีสหสัมพันธ์ โดยใช้ข้อมูลปริมาณ  $PM_{10}$  ในช่วงเดือนกรกฎาคม – ธันวาคม พ.ศ.2549 และช่วงเดือน มกราคม – พฤษภาคม พ.ศ.2550 และดูความสัมพันธ์กันของข้อมูลจากสัมประสิทธิ์สหสัมพันธ์ของแต่ละสถานี พบว่า ในช่วงปี 2549 มีค่าความสัมพันธ์ตั้งแต่ 0.179 – 0.505 และในช่วงปี 2550 มีค่าความสัมพันธ์ตั้งแต่ 0.312 – 0.510 ในการวิจัยนี้จึงใช้ค่า SR มาประยุกต์ใช้ในการหาความเข้มข้นของปริมาณ  $PM_{10}$  ในอากาศเนื่องจากมีกระบวนการปรับแก้ทางเชิงรังสีและเชิงเรขาคณิตที่ไม่ซับซ้อนเท่ากับ AOT แต่ยังให้ผลความสัมพันธ์ที่ถึงความเข้มข้นของอนุภาคฝุ่นในระดับที่ยอมรับได้จากการวิจัยที่เกี่ยวข้องโดยส่วนใหญ่ก็จะใช้แบบจำลองทั้งแบบเชิงเส้นและไม่ใช้เชิงเส้นมาสร้างความสัมพันธ์กับระหว่างค่า SR และ  $PM_{10}$  กับค่าที่วัดได้จากสถานีวัด โดยจะใช้ค่าสถิติ  $R^2$  มาวัดความแม่นยำและ RMSE มาวัดความคลาดเคลื่อนของแบบจำลองซึ่งแบบจำลองเชิงเส้นจะมีแนวโน้มที่จะให้ค่าความแม่นยำมากกว่าแต่ก็จะมีความแตกต่างกันในเชิงพื้นที่ของการประยุกต์ใช้งานด้วยแต่ยังไม่มีงานวิจัยใดเลยที่ทำการสร้างแบบจำลองเพื่อวิเคราะห์ความสัมพันธ์เชิงพื้นที่ระหว่างค่า  $PM_{10}$  และปัจจัยเชิงพื้นที่เพื่อวิเคราะห์การกักขังฝุ่นละอองใน

พื้นที่ๆ แต่ก็ต่างกัน ในการวิจัยนี้จะทำการประยุกต์ใช้ทั้งแบบจำลองเชิงเส้น 3 รูปแบบเข้ามาใช้เปรียบเทียบเพื่อวิเคราะห์ว่าแบบจำลองแบบใดเหมาะสมที่จะใช้ทำนายปริมาณฝุ่น  $PM_{10}$  และพื้นที่ๆ จะใช้เป็นต้นแบบคือจังหวัดเลย ขอนแก่นและนครราชสีมา เนื่องมาจากว่าทั้ง 3 จังหวัดมีสถานีตรวจวัดคุณภาพอากาศที่สามารถวัดค่า  $PM_{10}$  ได้และจะทำให้แบบจำลองที่สร้างขึ้นสามารถเปรียบเทียบผลของแบบจำลองได้ เมื่อได้แบบจำลองที่มีความแม่นยำในการประมาณค่า  $PM_{10}$  แล้วจะใช้วิธีการทางภูมิสารสนเทศในการสร้างแผนที่ รวมทั้งแบบจำลองแบบถอดถ่ายถ่วงน้ำหนักภูมิศาสตร์สำหรับวิเคราะห์การกระจายตัวของฝุ่นละอองขนาดเล็กกว่า 10 ไมครอนว่า สมมพันธ์กับลักษณะเชิงพื้นที่อย่างไร เพื่อใช้ในการประเมินสถานการณ์ของพื้นที่ต่อไปได้อย่างทันเวลา

## วัตถุประสงค์

- เพื่อสร้างตัวแบบเชิงพื้นที่สำหรับคาดการณ์ความเข้มข้นของฝุ่นละอองขนาดเล็กกว่า 10 ไมครอน ( $PM_{10}$ ) บริเวณพื้นที่จังหวัดเลย ขอนแก่นและนครราชสีมา
- เพื่อสร้างแผนที่ความเข้มข้นของฝุ่นละอองขนาดเล็กกว่า 10 ไมครอน ( $PM_{10}$ ) บริเวณพื้นที่จังหวัดเลย ขอนแก่นและนครราชสีมา
- เพื่อวิเคราะห์อิทธิพลของตัวแปรอิสระเชิงพื้นที่ต่อการเกิดฝุ่น

## อุปกรณ์และวิธีการ

การศึกษานี้แบ่งการทำงานเป็น 3 ส่วนหลัก ได้แก่ ส่วนที่ 1 เป็นกระบวนการปรับแก้ข้อมูลเชิงเรขาคณิตของภาพถ่ายดาวเทียม เนื่องจากข้อมูลจาก MODIS อยู่ในรูปของ HDF-EOS และอ้างอิงโดยเส้นโครงแผนที่แบบ Sinusoidal และยังไม่มีระบบพิกัด จึงต้องทำการปรับแก้ข้อมูลเชิงเรขาคณิตเพื่อให้ได้ตำแหน่งที่ถูกต้องตรงตามข้อเท็จจริงหรือความเป็นจริงบนพื้นผิวโลก แล้วทำการเลือกช่วงคลื่นที่ใช้ในการทำงานในขั้นตอนต่อไปส่วนที่ 2 เป็นกระบวนการตรวจหาความเข้มข้นของฝุ่นละอองขนาดเล็กกว่า 10 ไมครอน ( $PM_{10}$ ) โดยการหาความสัมพันธ์ระหว่างปริมาณ  $PM_{10}$  ที่ได้จากสถานีตรวจวัดคุณภาพอากาศของกรมควบคุมมลพิษ กับภาพถ่ายดาวเทียมระบบเซ็นเซอร์ MODIS ด้วยสิ่งการถอดถ่ายเพื่อหาสมการที่ดีที่สุด โดยพิจารณาจากค่าสัมประสิทธิ์การตัดสินใจ (Coefficient of Determination :  $R^2$ ) ส่วนที่ 3 เป็นกระบวนการเปรียบเทียบแบบจำลองที่มีความเหมาะสมต่อการตรวจหาความเข้มข้นของฝุ่นละอองเพื่อทำแผนที่ความเข้มข้นของฝุ่นละอองบริเวณภาคตะวันออกเฉียงเหนือของประเทศไทย โดยพิจารณาจาก

ผลการประเมินความแม่นยำและความสัมพันธ์ของค่าที่คำนวณได้กับค่าที่วัดได้จริง จากนั้นใช้สมการที่ดีที่สุดร่วมกับการใช้ระบบสารสนเทศภูมิศาสตร์ โดยได้แบบจำลองที่ดีที่สุดเพื่อนำมาจัดทำแผนที่ความเข้มข้นของฝุ่นละอองบริเวณจังหวัดเลย ขอนแก่น และนครราชสีมาเพื่อใช้เป็นต้นแบบสำหรับทำแผนที่ฝุ่นละอองขนาดเล็กกว่า 10 ไมครอน ในภาคตะวันออกเฉียงเหนือในการศึกษาครั้งต่อไป

## ระเบียบวิธีวิจัย

การสร้างแบบจำลองและทำแผนที่ปริมาณ  $PM_{10}$  ในอากาศ โดยการประยุกต์ใช้ข้อมูลดาวเทียม Terra/Aqua-MODIS มีขั้นตอนดังรูปที่ 1 และอธิบายแต่ละขั้นตอนดังนี้

1) รวมรวมผลการตรวจดูคุณภาพอากาศภาคพื้นดิน พื้นที่ภาคตะวันออกเฉียงเหนือ ทั้ง 3 สถานี (นครราชสีมา, ขอนแก่น และเลย) จากกรรมควบคุมมลพิษ เนื่องจากภาคตะวันออกเฉียงเหนือมีสถานีตรวจน้ำดูคุณภาพอากาศเพียงแค่ 3 จังหวัด และข้อมูลภาพถ่ายดาวเทียมช่วงเดือนกุมภาพันธ์, มีนาคม และเมษายน 2558 ซึ่งในช่วงนี้เป็นช่วงที่มีปริมาณ  $PM_{10}$  ในอากาศสูงกว่าช่วงฤดูกาลอื่นๆ

2) รวบรวมข้อมูลภาพถ่ายดาวเทียม Terra/Aqua – MODIS ได้แก่ ข้อมูลค่าสีท้องฟ้าพื้นผิว (Surface Reflectance, SR) จากผลิตภัณฑ์ MOD09 โดยดาวน์โหลดจากเว็บไซต์ <http://ladsweb.nascom.nasa.gov/> และทำการปรับแก้ข้อมูล เชิงเรขาคณิต (Geometric Correction) ให้มีพิกัดตรงตามตำแหน่งจริงบนพื้นโลก

3) ใช้ข้อมูลค่าการสะท้อนพื้นผิว (Surface Reflectance) ที่ได้จากผลิตภัณฑ์ MOD09 หาความสัมพันธ์กับค่าที่วัดได้จากสถานีตรวจน้ำดูคุณภาพอากาศภาคพื้นดิน ทั้ง 3 สถานี ด้วยสมการถดถอย 3 รูปแบบได้แก่ การถดถอยเชิงเส้นแบบพหุ (Multiple Linear models) การถดถอยแบบคิวบิก (Cubic regression) และการถดถอยแบบเอ็กซ์โพเนนเชียล (Exponential regression) และพิจารณาความแม่นยำของแต่ละแบบจำลองจากค่าสัมประสิทธิ์การตัดสินใจ (Coefficient of Determination) ถ้าค่า  $R^2$  มีค่าสูง ความแม่นยำของการนำสมการไปใช้เพื่อทำนายหรือคาดคะเนผลลัพธ์ย่อมมีสูงมากยิ่งขึ้นโดยทั่วไป สมการที่มักนำไปใช้คร่าวมีค่า  $R^2$  อย่างน้อย 0.75 หากสูงกว่า 0.90 ถือว่าดีมาก (ค่า  $R^2$  มีค่าตั้งแต่ 0 ถึง 1 โดยที่ 0 แสดงว่าไม่มีความสัมพันธ์ใดๆ ระหว่างตัวแปรตามและอิสระ, 1 แสดงว่ามีความสัมพันธ์กันอย่างสมบูรณ์)

4) ทำการประเมินความแม่นยำของค่าที่คำนวณได้กับค่าที่วัดได้จริงเพื่อหาตรวจสอบความถูกต้อง เพื่อให้ได้มาซึ่งสมการที่ดีที่สุดในการคำนวณค่าความเข้มข้นของฝุ่นละอองในอากาศ

5) เมื่อได้รูปแบบสมการที่ดีที่สุดแล้ว จึงนำมาใช้ร่วมกับเทคนิคทางระบบสารสนเทศภูมิศาสตร์ เพื่อสร้างแผนที่ปริมาณ  $PM_{10}$  ในพื้นที่ภาคตะวันออกเฉียงเหนือ

6) วิเคราะห์ลักษณะการแพร่ของ  $PM_{10}$  และการกักขังเชิงพื้นที่ด้วยแบบจำลองถดถอยแบบถ่วงน้ำหนักภูมิศาสตร์ และแผนที่  $PM_{10}$  จะมีหน่วยเป็นจำนวนจุดภาพ (Pixel) หรือ เป็นเมตร โดยรูปแบบของสมการที่ใช้คำนวณความคลาดเคลื่อน (RMS) มีดังต่อไปนี้

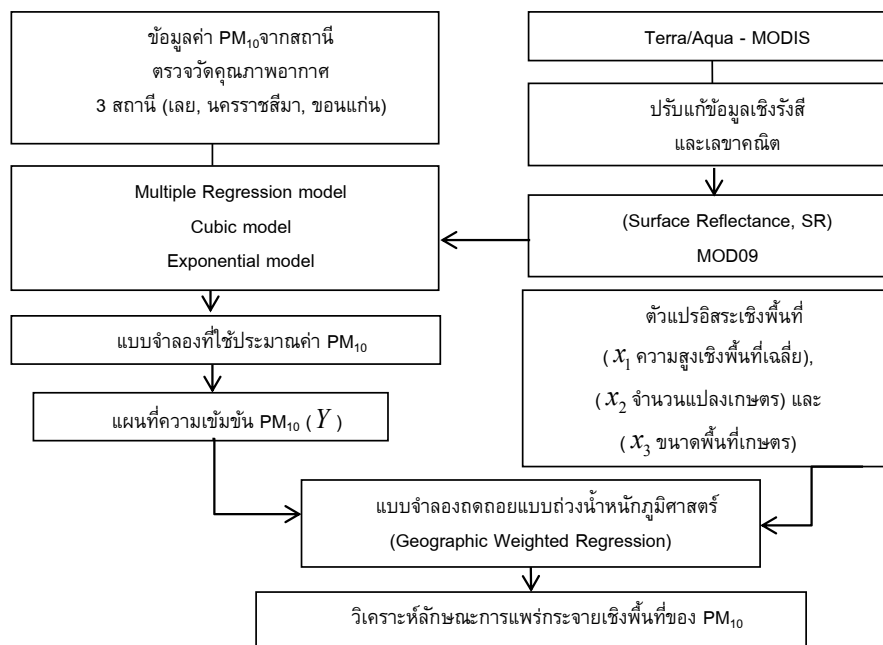


Figure 1 Framework of the study

## ข้อมูลแหล่งข้อมูล และการรวมรวมข้อมูล

ข้อมูลที่ใช้ในการศึกษาครั้งนี้แบ่งออกเป็น 2 ส่วน คือ

1) ข้อมูลผลการตรวจวัดคุณภาพอากาศภาคพื้นดินบริเวณพื้นที่จังหวัดเลย ขอนแก่นและนครราชสีมา ที่มี สถานีตรวจวัดคุณภาพอากาศของกรมควบคุมมลพิษตั้งอยู่จะวัดค่า  $PM_{10}$  ในหน่วย ( $\mu g/m^3$ ) และช่วงเวลาที่บันทึกค่าระหว่างวันที่ 1 กุมภาพันธ์ ถึง 30 เมษายน พ.ศ.2558

2) ข้อมูลภาพถ่ายดาวเทียม Terra/Aqua – MODIS โดยใช้ข้อมูลค่าสะท้อนพื้นผิว (Surface Reflectance) จากผลิตภัณฑ์ MOD09 จะต้องผ่านกระบวนการแปลงค่าพิกัด (Co-ordinate transformation) ซึ่งเป็นกระบวนการ Transformation หรือการคำนวนและทดสอบเมตริกแปลง เป็นกระบวนการ การดึงภาพที่บิดเบือนให้อยู่ในตำแหน่งที่ถูกต้องและไกล์เดียงความเป็นจริง โดยมีจุด GCP ที่เลือกไว้เป็นจุดตรึงตำแหน่ง ต่างๆ ในขั้นตอนนี้จะคำนวนค่าจากจุดควบคุมทางภาคพื้นดินที่กำหนดลงไปบนภาพ ผลการคำนวนจะระบุค่าเฉลี่ยกำลังสอง (Root Mean Square : RMS) ของแต่ละจุดโดยมีหน่วย เป็นระยะทางระหว่างตำแหน่งของจุดควบคุมทางภาคพื้นดิน และจุดควบคุมทางภาคพื้นดินที่คำนวนขึ้นใหม่ ค่าความคลาดเคลื่อนคำนวนดังสมการดังนี้

$$RMS \text{ แgan รวม } X = (sum(x_i - x_{org})^2 / (n - k)) \dots (1)$$

$$RMS \text{ แgan ติง } Y = (sum(y_i - y_{org})^2 / (n - k)) \dots (2)$$

เมื่อ  $x_i$  = ค่าพิกัดแนวราบที่คำนวนได้ในข้อมูลภาพที่ยังไม่ได้ปรับแก้

$y_i$  = ค่าพิกัดแนวตั้งที่คำนวนได้ในข้อมูลภาพที่ยังไม่ได้ปรับแก้

$x_{org}$  = ค่าพิกัดแนวราบที่คำนวนของจุดควบคุมทางภาคพื้นดินในภาพ

$y_{org}$  = ค่าพิกัดแนวตั้งของจุดควบคุมทางภาคพื้นดินในภาพ

$n$  = จำนวนจุดควบคุมทางภาคพื้นดิน

$k$  = ค่า Degree of freedom หรือ จำนวนจุด GCP ที่ต้องใช้ซึ่งขึ้นกับรูปแบบของสมการทางคณิตศาสตร์ในการแปลงพิกัด

ค่า RMS สามารถบอกได้ว่า จุดควบคุมภาคพื้นดิน มีตำแหน่งพิกัดไกล์เดียงกับพิกัดอ้างอิงเพียงใด (มีหน่วยเป็น จุดภาพ) โดยทั่วไปค่า RMS ที่ยอมรับได้จะมีค่าวากรีวีอลบไม่เกิน 1 จุดภาพ ถ้าค่า RMS มีค่าสูงแสดงว่า ความคลาดเคลื่อนทางตำแหน่งมีมาก ในการวิจัยนี้จะกำหนดค่า RMS ของภาพ

ที่จะนำมาใช้งานน้อยกว่า 0.001 ภาพเพื่อทำให้ได้ตำแหน่งของสถานีตรวจวัดคุณภาพอากาศตรงกับจุดภาพภาพและไม่คลาดเคลื่อน

## แบบจำลองลดด้อยแบบถ่วงน้ำหนักภูมิศาสตร์ (Geographic Weighted Regression, GWR)

แบบจำลอง GWR เป็นแบบจำลองแบบ (Local Model) จะถูกนำมาใช้ในการวิเคราะห์ความสัมพันธ์ของตัวแปรเชิงพื้นที่ ที่ใช้ในการวิเคราะห์การแพร่กระจายของอนุภาคฝุ่นในการวิจัยนี้ได้ศึกษาตัวแปรเชิงพื้นที่ที่เกี่ยวข้องจากการวิจัย ซึ่งสรุปได้ว่าปัจจัยที่จะส่งผลต่อการแพร่กระจายของฝุ่นในพื้นที่ระดับภูมิภาค คือค่าความสูงเชิงพื้นที่เฉลี่ยในหน่วยพื้นที่อยู่กำหนดเป็นตัวแปรอิสระ  $x_1$  จำนวนแปลงเกษตรต่อหน่วยพื้นที่อยู่เป็นตัวแปรอิสระ  $x_2$  และขนาดพื้นที่เกษตรเป็นตัวแปรอิสระ  $x_3$  โดยที่  $y$  คือ ค่าความเข้มข้นของ  $PM_{10}$  ที่กระจายอยู่ในพื้นที่ของจังหวัดเลย ขอนแก่นและนครราชสีมา และมีรูปแบบของแบบจำลอง GWR ตามสมการที่ (3)

$$y = b_0 + b_1(x) + e \quad (3)$$

$y$  คือ ค่าความเข้มข้นของ  $PM_{10}$  ของจุดภาพภาพ  $x$  เป็นตัวแปรอิสระ  $b_0$  และ  $B_1$  ของค่าพารามิเตอร์ ที่จะได้ผลลัพธ์  $e$  เป็นค่าที่ผิดพลาดแบบสุ่มที่แบบจำลอง GWR จะมีความแตกต่างจากแบบจำลอง Ordinary Least Square (OLS) ซึ่งเป็นสถิติแบบ (Global Model) ในด้านการประมาณค่าสัมประสิทธิ์ของ  $b_0$  และ  $b_1$  โดยมีรูปแบบดังสมการที่ (4)

$$\beta(g) = (x^T w(g) x)^{-1} x^T w(g) y \quad (4)$$

$w(g)$  เป็นเมตริกซ์ของค่า  $PM_{10}$  ที่จะถูกนำมาใช้คำนวนค่าน้ำหนักเชิงพื้นที่ สามารถกำหนดขนาดของหน้าต่าง (Bandwidth) ในการเลือกจุดตัวอย่างของ  $PM_{10}$  ได้หลายวิธีการ ในรูปแบบต่างๆ โดยการวิจัยนี้ใช้วิธีฟังก์ชัน Gaussian ดังแสดงในสมการ (5)

$$w_i(g) = \exp(-d_{ij} / h^2) \quad (5)$$

โดย  $d_{ij}$  เป็นระยะทางระหว่างจุดภาพจุดภาพของแทนที่  $PM_{10}$  ที่  $j$  ได้ๆ หมายจุดศูนย์กลางของหน้าต่าง (Bandwidth) ที่  $i$  ได้ๆ การที่แบบจำลองจะคำนวนค่าสัมประสิทธิ์ได้มีความสอดคล้องกันของตัวแปรอิสระและตัวแปรตามจะต้องขึ้นกับการกำหนดหน่วยเชิงพื้นที่อยู่ (Spatial unit) ด้วย ใน การวิจัยนี้จะใช้การแบ่งหน่วยพื้นที่ย่อยจากการแบ่งตามขนาดสุ่มน้ำย่อย (Sub basin) โดยใช้ข้อมูลแบบจำลองความสูงเชิง

เลข (Digital Elevation Model, DEM) ขนาดจุดภาพ 50 เมตร แบบจำลอง GWR จะสร้างแบบจำลองให้กับทุกๆ หน่วยพื้นที่ ย่อย ต่างจาก OLS ที่จะได้เพียงสมการเดียวสำหรับประเมิน  $PM_{10}$

### ผลการวิจัยและอภิปราย

ความสัมพันธ์ระหว่างภาพถ่ายดาวเทียมกับปริมาณ  $PM_{10}$  จากสถานีตรวจวัดคุณภาพอากาศความสัมพันธ์เชิงเวลา และเชิงตำแหน่ง

ข้อมูลปริมาณ  $PM_{10}$  จากสถานีตรวจวัดคุณภาพอากาศ เป็นข้อมูลที่เก็บแบบต่อเนื่องและแสดงผลเป็นรายชั่วโมง ตั้งแต่ จึงต้องหาปริมาณ  $PM_{10}$  ณ ช่วงเวลาที่ถ่ายภาพของดาวเทียมของแต่ละวัน โดยสมการเชิงเส้นรูปแบบจุดสองจุด ทั้งนี้อนุมานว่าปัจจัยอื่นๆ ที่มีผลต่อการเปลี่ยนแปลงค่าปริมาณ  $PM_{10}$  (เช่น ความเร็วลม, ทิศทางลม เป็นต้น) มีค่าคงที่ดังแสดงสมการคำนวณใน Figure 2

$$P - P_1 = \frac{(P_2 - P_1)}{(T_2 - T_1)} * (T - T_1) \quad (6)$$

เมื่อ  $T_2 \neq T_1$  กราฟนี้จะเป็นเส้นตรงที่ลากผ่านจุด  $(b_3, P_1)$  และจุด  $(T_2, P_2)$  โดยมีความชันเท่ากับ  $m = (P_2 - P_1)/(T_2 - T_1)$  รูปแบบจุดสองจุดสามารถแปลงให้เป็นรูปแบบจุดและความชันได้โดยการคำนวนหาค่าที่เจาะจงของความชันมาแทนที่ตำแหน่งของ  $m$

โดยที่  $T$  คือ เวลาถ่ายภาพของดาวเทียม

$T_1$  คือ นาทีที่ 0

$T_2$  คือ นาทีที่ 60

$P$  คือ ปริมาณ  $PM_{10}$  ณ เวลา  $T$

$P_1$  คือ ปริมาณ  $PM_{10}$  จากสถานีตรวจวัดในนาทีที่ 0

$P_2$  คือ ปริมาณ  $PM_{10}$  จากสถานีตรวจวัด ในนาทีที่ 60

การหาความสัมพันธ์ระหว่างปริมาณ  $PM_{10}$  จากสถานีตรวจวัดคุณภาพอากาศทั้ง 3 สถานี และการสะท้อนที่ระดับพื้นผิว (Surface Reflectance) ทำโดยการเลือกค่าพิกเซลที่มีตำแหน่งพิกัดตรงกับที่ตั้งของสถานีตรวจวัดคุณภาพอากาศ แต่ด้วยขนาดจุดภาพของภาพดาวเทียมมีขนาด 500 เมตร ซึ่งใหญ่กว่าพื้นที่ตั้งของสถานีตรวจวัดทำให้อ้าวเกิดความคลาดเคลื่อนของการสร้างแบบจำลองได้ ในการวิจัยนี้จึงได้ใช้วันที่ใช้ภาพดาวเทียมจำนวนมากเพื่อเพิ่มความถี่ของข้อมูล  $PM_{10}$

โดยใช้ตั้งแต่ 1 กุมภาพันธ์ 2558 ถึงวันที่ 30 เมษายน 2558 โดยข้อมูลค่า  $PM_{10}$  ของแต่ละสถานีตรวจวัดจะถูกนำมาหาค่าเฉลี่ยทั้งวันตลอดเดือนและแบ่งเป็นชุดข้อมูลเชิงเวลา 3 ชุด ได้แก่ ชุดข้อมูลเฉลี่ยตัวอย่างที่ใช้สร้างแบบจำลอง และตัวแทนของวันที่จะนำค่า  $PM_{10}$  มาสร้างแบบจำลองจะทำการกรองภาพที่มีเมฆมากลุกคลุมออก ส่วนของค่า  $PM_{10}$  ที่ได้จากการนี้ ตรวจวัดคุณภาพอากาศจะแสดงเป็นค่าหน่วย ( $\mu g/m^3$ ) ที่แสดงค่าสูงสุดของ  $PM_{10}$  ของแต่ละเดือน ซึ่งค่าของ  $PM_{10}$  จะถูกประมาณค่าด้วยกราฟเส้นตรงสองจุดแล้วนำมาลากเส้นแบ่งกึ่งกลางจะเป็นค่าใหม่ของช่วงวันที่ต้องการค่า  $PM_{10}$  ซึ่งค่าเหล่านี้จะถูกนำมาใช้เป็นค่าตัวแทนของปริมาณ  $PM_{10}$  ของสถานีตรวจวัดคุณภาพอากาศของแต่ละสถานีโดยเปลี่ยนแปลงไปตามวันและเวลาที่ได้บันทึกภาพดาวเทียม

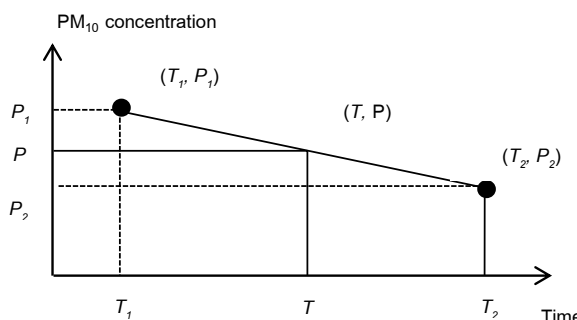


Figure 2 Relationship between time spot and concentration of  $PM_{10}$

ความสัมพันธ์ระหว่างค่า (Surface Reflectance, SR) จากภาพถ่ายดาวเทียมกับปริมาณ  $PM_{10}$  จากสถานีตรวจวัดคุณภาพอากาศ

เมื่อได้ข้อมูลจากความสัมพันธ์เชิงตำแหน่งระหว่างปริมาณความเข้มข้น  $PM_{10}$  จากสถานีตรวจวัดคุณภาพอากาศ และค่าสะท้อนแสงของช่วงคลื่นที่สะท้อน  $PM_{10}$  จากภาพถ่ายดาวเทียม ณ ตำแหน่งพิกัดสถานีแล้ว นำชุดข้อมูลทั้งสองมาหาความสัมพันธ์กันของชุดข้อมูลทั้งสองของแต่ละเดือน ด้วยสมการถดถอย 3 แบบ ได้แก่ แบบเส้นตรง (Linear models) แบบเอ็กโพเนนเชียล (Exponential models) และการถดถอยแบบคิวบิก (Cubic Regression) ซึ่งมีรูปแบบสมการแบบเส้นตรง (Linear Regression) แบบเอ็กโพเนนเชียล (Exponential Regression) และแบบคิวบิก (Cubic Regression) และหาความสัมพันธ์ระหว่างค่าผู้ละของขนาดเล็ก ( $PM_{10}$ ) จากสถานีตรวจวัดคุณภาพอากาศคลาดพื้นดิน และค่าที่ได้จากข้อมูลภาพถ่ายดาวเทียม จากการวิจัยของ<sup>7</sup> สรุปว่าช่วงคลื่น (แบนด์) ที่เหมาะสมที่ใช้คึกคักความสัมพันธ์กับอนุภาคผื่นขนาดเล็กกว่า 10 ไมครอน  $PM_{10}$  คือ แบนด์ 1 ถึง แบนด์ 4 และ

ช่วงเวลาที่เหมาะสมในการใช้ภาพดาวเทียมตรวจคุณภาพอากาศและการแพร่กระจายของฝุ่นคือช่วงฤดูแล้ง ซึ่งในพื้นที่ศึกษาจะใช้ข้อมูลของเดือนกุมภาพันธ์มีนาคม และเมษายน 2558 เพื่อคำนวณรูปแบบจำลองโดย (Regression Model) 3 แบบทั้งนี้จะมีการวิเคราะห์สหสัมพันธ์ระหว่างแบบนัดของภาพดาวเทียมที่มีความสัมพันธ์ระหว่างกันผลพบว่า แบบที่ 1, 2, 3, และ 4 มีค่าสหสัมพันธ์กับค่า  $PM_{10}$  ของสถานีจังหวัดเลย ช่วงเดือนกุมภาพันธ์เท่ากับ 0.31, 0.36, 0.64, และ 0.72 ตามลำดับ ค่าสหสัมพันธ์กับค่า  $PM_{10}$  ของสถานีจังหวัดขอนแก่น ช่วงเดือนมีนาคมเท่ากับ 0.3, 0.31, 0.61, และ 0.74 ตามลำดับ และค่าสหสัมพันธ์กับค่า  $PM_{10}$  ของสถานีจังหวัดนครราชสีมา ช่วงเดือนเมษายนเท่ากับ 0.37, 0.39, 0.68, และ 0.76 ตามลำดับทำให้สังเคราะห์ได้ว่าแบบที่ 3 และ 4 มีความสัมพันธ์กับค่า  $PM_{10}$  ของทุกๆ สถานีทดสอบมากกว่าแบบที่ 1 และ 2 นอกจากนี้ยังทดสอบค่าสหสัมพันธ์ระหว่างแบบที่ 1, 2, 3, และ 4 เพื่อยืนยันว่าช่วงคลื่นที่เลือกมาใช้ในการสร้างแบบจำลองสามารถสะท้อนค่า  $PM_{10}$  ได้อย่างแม่นยำ ผลสหสัมพันธ์พบว่า แบบที่ 1, 2 มีความสัมพันธ์กันในระดับไม่เกิน 0.4 ในทุกๆ การทดสอบกับสถานีแต่ละจังหวัด ส่วนแบบที่ 3 และ 4 มีค่าสหสัมพันธ์มากกว่า 0.6 ในทุกๆ การทดสอบ และสหสัมพันธ์ระหว่างแบบที่ 1 ถึงแบบที่ 4 พบว่าแบบที่ 1 และแบบที่ 2 มีค่าสหสัมพันธ์ระหว่างแบบที่ 3 และ 4 ไม่เกิน 0.42 ดังนั้นในการวิจัยนี้จึงมุ่งเน้นใช้เฉพาะแบบที่ 3 และ 4 มาสร้างแบบจำลองเพื่อประมาณค่า  $PM_{10}$

การสร้างความสัมพันธ์ระหว่างค่า  $PM_{10}$  จากสถานีตรวจคุณภาพอากาศภาคพื้นดิน และค่าที่ได้จากข้อมูลภาพถ่ายดาวเทียมจะใช้การสร้างแบบจำลองโดยวิเคราะห์ช่วงคลื่น (แบบที่ 4) ใหม่ที่ให้ค่าความสัมพันธ์กับค่า  $PM_{10}$  สูงที่สุด และสมการใหม่ให้ค่าความสัมพันธ์สูงที่สุดโดยการวิเคราะห์ทั้งสองรูปแบบจะใช้ค่าสัมประสิทธิ์การตัดสินใจ  $R^2$  มาช่วยพิจารณา พบว่า ความสัมพันธ์ในรูปแบบเชิงเส้นของแบบที่ 4 มีค่า ( $R^2=0.665$ ) สูงที่สุดรองลงมาคือแบบที่ 3, 2, และ 1 ( $R^2=0.528, 0.461$ , และ  $0.442$ ) ตามลำดับ แบบจำลองที่นำ  $PM_{10}$  ช่วงเวลาเดือนมีนาคมพบว่า ความสัมพันธ์ในรูปแบบเชิงเส้นของแบบที่ 4 มีค่า ( $R^2 = 0.642$ ) สูงที่สุดรองลงมาคือแบบที่ 3, 2, และ 1 ( $R^2 = 0.501, 0.411$ , และ  $0.402$ ) ตามลำดับและแบบจำลองที่นำ  $PM_{10}$  ช่วงเวลาเดือนเมษายนพบว่า ความสัมพันธ์ในรูปแบบเชิงเส้นของแบบที่ 4 มีค่า ( $R^2=0.679$ ) สูงที่สุดรองลงมาคือแบบที่ 3, 2, และ 1 ( $R^2=0.567, 0.451$ , และ  $0.426$ ) ตามลำดับ และความสัมพันธ์รองลงมาของแบบจำลองทั้งสามเดือนคือแบบจำลองแบบ Exponential และ Cubic และสมการช่วงเดือนกุมภาพันธ์ มีนาคม และเมษายนแสดงทั้งหมด

ดังสมการที่ (7), (8), และ (9) และสมการรูปแบบอื่นๆ จะแสดงในตารางที่ 1, 2, และ 3 ตามลำดับ

$$PM_{10} = -312.5 + 495.162(b_4) \quad (7)$$

$$PM_{10} = 49.027 + 2150.975(b_4) \quad (8)$$

$$PM_{10} = 111.905 + 494.669(b_4) \quad (9)$$

การหาความสัมพันธ์ระหว่างแบบนัดที่สามารถตรวจวัดค่า  $PM_{10}$  ได้คือแบบที่ 4, 3, 2, และ 1 ตามลำดับจากการหาความสัมพันธ์กันของค่าฝุ่นละอองขนาดเล็ก ( $PM_{10}$ ) จากข้อมูลสถานีตรวจคุณภาพอากาศภาคพื้นดิน กับค่าสะท้อนพื้นผิว (Surface Reflectance) ที่ได้จากการถ่ายดาวเทียมในแต่ละช่วงคลื่นของชุดข้อมูล  $PM_{10}$  ของแต่ละเดือนจะเห็นว่ามีแนวโน้มไปในทางเดียวกันคือแบบที่ให้ค่า  $R^2$  สูงที่สุดคือแบบที่ 4, 3, 2, และ 1 ตามลำดับ และแบบจำลองให้ค่า  $R^2$  คือแบบจำลองโดยเชิงเส้นแบบพหุจำลองโดยแบบ Exponential และแบบจำลองโดยแบบ Cubic (Regression Analysis) แต่การที่จะวิเคราะห์หาแบบจำลองที่เหมาะสมที่จะนำไปประมาณค่า  $PM_{10}$  ในช่วงฤดูแล้งซึ่งมีการเผาเพื่อเตรียมดินเพื่อทำการเกษตรในช่วงรอเข้าสู่ฤดูฝนจำเป็นจะต้องนำข้อมูลของค่า  $PM_{10}$  ในช่วงที่มีการเผาแปลงเกษตรเข้ามาใช้สร้างแบบจำลองอีกรอบเพื่อที่จะทำให้แบบจำลองสามารถประมาณค่า  $PM_{10}$  ได้ตรงช่วงเวลา ทำให้ได้แบบจำลองที่ดีที่สุดเพียงแบบจำลองเดียวเพื่อเป็นตัวแทนในการประมาณค่าปริมาณ  $PM_{10}$  จากภาพถ่ายดาวเทียม

### การวิเคราะห์แบบจำลองที่เหมาะสมที่สุดสำหรับใช้ประมาณค่า $PM_{10}$

แบบจำลองโดยเชิงเส้นแบบพหุจุลกูณสนับสนุน เป็นแบบจำลองสำหรับใช้ประมาณค่า  $PM_{10}$  โดยใช้ชุดข้อมูลทั้ง 3 เดือน (กุมภาพันธ์-เมษายน 2558) รวมเป็นชุดเดียวกันของ  $PM_{10}$  ที่วัดจากการประมาณค่าจากสถานีตรวจคุณภาพและค่าสะท้อนพื้นผิว (Surface Reflectance) ที่ได้จากการถ่ายดาวเทียม ผลของแบบจำลองแสดงความสัมพันธ์ของแบบที่ 3 และแบบที่ 4 ให้ค่า  $R^2$  สูงที่สุดที่ 0.742 รองลงมาคือแบบที่ 2, 3 และแบบที่ 4 ให้ค่า  $R^2$  สูงที่สุดที่ 0.581 และค่า  $R^2$  และแบบจำลองของแบบที่ 4 แสดงดังตารางที่ 4 ที่ทำให้วิเคราะห์ได้ว่าแบบที่ 3 และแบบที่ 4 มีความสัมพันธ์กับค่า  $PM_{10}$  มากกว่าแบบที่ 1 และทั้งนี้การสรุปความแม่นยำจากการถูกต้องค่า  $R^2$  อย่างเดียวอาจจะไม่สามารถสรุปได้ว่าแบบจำลองนี้เป็นแบบจำลองที่ดีที่สุดสำหรับประมาณค่า  $PM_{10}$  ในช่วงฤดูการเผาในพื้นที่ภาคตะวันออกเฉียงเหนือเนื่องจากว่าแบบจำลองอื่นๆ ที่มีการนำแบบที่ 1 และ

แบบที่ 2 เข้ามาใช้สร้างแบบจำลองยังให้ค่า  $R^2$  ที่อยู่ในช่วง 0.3-0.5 ซึ่งก็ใช้ในการประมาณค่า  $PM_{10}$  ได้ในระดับหนึ่ง แต่ทั้งนี้หากจะใช้ทุกๆ แบบเพื่อนำมาเป็นข้อมูลนำเข้าในแบบจำลองจะทำให้เกิดความชำรุดของข้อมูลและไม่ได้ช่วยเพิ่มความแม่นยำให้กับแบบจำลองอีกทั้งยังต้องใช้ข้อมูลจำนวนมากขึ้นด้วย ดังนั้นทุกๆ แบบจำลองจะต้องนำมาหาค่าความแม่นยำอีกครั้งด้วยค่ารากที่สองของค่าเฉลี่ยของความคลาดเคลื่อนกำลังสอง (RMSE) พบร้ามีค่า 10.28, 15.64, 18.21 ของการทดสอบกับค่า  $PM_{10}$  ที่วัดจากสถานีตรวจคุณภาพอากาศจังหวัดเลย ขอนแก่นและนครราชสีมา ตามลำดับ ซึ่งถือว่ามีความคลาดเคลื่อนที่ยอมรับได้ เพราะผิวความผิดพลาดไม่เกินค่า  $20 \mu g/m^3$  การวิจัยนี้เลือกใช้วิธีนี้ เพราะว่าง่ายต่อการวัดความคลาดเคลื่อนของข้อมูลแบบสองจุด โดยในการวิจัยนี้ได้แบบจำลองที่ดีที่สุดสำหรับประมาณค่า  $PM_{10}$  และดังสมการที่ (10) คือ ซึ่งค่า  $PM_{10}$  นี้จะถูกนำเข้าไป เป็นตัวแปรตาม  $y$  ในแบบจำลองลดตอนแบบถ่วงน้ำหนักภูมิศาสตร์ (GWR) เพื่อใช้ในการวิเคราะห์การแพร่กระจายของฝุ่นได้รวมทั้งสามารถนำไปใช้เคราะห์แนวโน้มของการเกิดฝุ่น ในพื้นที่ได้

$$PM_{10} = 26.961(b_3) + 480.212(b_4) + 85.836 \quad (10)$$

### การวิเคราะห์การกระจายของฝุ่นละอองขนาดเล็กกว่า 10 ไมครอน ( $PM_{10}$ ) ด้วยแบบจำลอง GWR

แผนที่รัสเตอร์การกระจายของ  $PM_{10}$  จากแบบจำลองสมการที่ (10) และนำเข้าตัวแปรอิสระคือค่าความสูงเชิงพื้นที่เฉลี่ยในหน่วยพื้นที่อย่างกำหนดเป็นตัวแปรอิสระ  $x_1$  จำนวนแปลงเกษตรต่อหน่วยพื้นที่อยู่เป็นตัวแปรอิสระ  $x_2$  และขนาดพื้นที่เกษตรเป็นตัวแปรอิสระ  $x_3$  ผลของการสร้างแบบจำลอง GWR ของพื้นที่จังหวัดนครราชสีมาขอนแก่นและเลยแสดงดังสมการที่ (11), (12), และ (13) ตามลำดับ

$$PM_{10} = 2.45.1 + 1.4(x_1) + 12.34(x_2) + 25.1(x_3) \quad (11)$$

$$PM_{10} = 2.31.1 - 4.2(x_1) + 6.24(x_2) + 9.6(x_3) \quad (12)$$

$$PM_{10} = 1.27.1 + 6.9(x_1) + 7.28(x_2) + 15.2(x_3) \quad (13)$$

สำหรับการประมาณค่า  $PM_{10}$  ทั้งพื้นที่ค่าของ  $PM_{10}$  จะถูกปรับให้เป็นมาตรฐานหน่วยเดียวกันอยู่ในรูปของค่าคะแนน 0-1 เพื่อการนำไปแปลงต่อกำลังความเสี่ยงเชิงพื้นที่ ได้ง่ายขึ้นโดยกำหนดช่วงดังนี้คือค่า  $PM_{10}$  ( $0-90 \mu g/m^3$ ) ถูกปรับให้มีค่า 0-0.2 และระดับความเข้มข้นของ  $PM_{10}$  มากและแสดงด้วยสีเขียวเข้ม ค่า  $PM_{10}$  ( $90.01-100 \mu g/m^3$ )

ถูกปรับให้มีค่า 0.201-0.4 และระดับความเข้มข้นของ  $PM_{10}$  ต่ำและแสดงด้วยสีเขียวอ่อน ค่า  $PM_{10}$  ( $100.01-110 \mu g/m^3$ ) ถูกปรับให้มีค่า 0.401-0.6 และระดับความเข้มข้นของ  $PM_{10}$  ปานกลางและแสดงด้วยสีเหลืองค่า  $PM_{10}$  ( $110.01-120 \mu g/m^3$ ) ถูกปรับให้มีค่า 0.601-0.8 แผนที่ค่าความเข้มข้น  $PM_{10}$  จะแสดงดังรูปที่ 3 ถึงรูปที่ 5 คือแผนที่การกระจายตัวของความเข้มข้น เฉลี่ยของค่า  $PM_{10}$  ที่สร้างจากแบบจำลองคณิตศาสตร์แสดงผลเป็นแผนที่ค่าเฉลี่ยทุกๆ 15 วันที่บันทึกในช่วงวันที่ 1 กุมภาพันธ์ 2558 ถึงวันที่ 31 เมษายน 2558 ช่วงเดือนต้นเดือนกุมภาพันธ์ค่าความเข้มข้นจะมีค่าสูงมากในพื้นที่รอยต่อของตอนล่างจังหวัดเลยและเขตตอนบนของจังหวัดขอนแก่น ส่วนจังหวัดนครราชสีมาจะอยู่แบบบริเวณทั้งตอนล่างและตอนบนของจังหวัดช่วงกลางเดือนกุมภาพันธ์ค่าความเข้มข้นจะมีค่าสูงมากจะกระจายอยู่ทั่วไปของจังหวัดเลยและจังหวัดขอนแก่น ส่วนจังหวัดนครราชสีมาจะมีค่าส่วนใหญ่ค่อนข้างต่ำ การกระจายตัวของอนุภาค  $PM_{10}$  แบบจำลองวิเคราะห์ตัวแปรที่ส่งผลต่อการเกิดและแพร่เมล็ดพิษของแต่ละจังหวัดจะมีค่าสัมประสิทธิ์แตกต่างกัน เพราะเป็นแบบจำลองที่มีการคำนวณค่าน้ำหนักของตัวแปรอิสระแบบ local operation ผลการแพร่กระจายของ  $PM_{10}$  ที่สัมพันธ์กับตัวแปรเชิงพื้นที่พบว่าพื้นที่จังหวัดนั้นๆ มีพื้นที่เกษตรและจำนวนแปลงเกษตรแต่ปลูกในพื้นที่ไม่สูงมากนักเป็นตัวแปรที่ทำให้เกิดแหล่งที่มาและการกักขังมลพิษ เพราะการที่มีแปลงเกษตรขนาดใหญ่และอยู่ใกล้เคียงกันจะทำให้แหล่งมลพิษเป็นแหล่งกำเนิดแบบ (Area source) ทำให้มีการแพร่ที่ต่อเนื่องและกระจายไปได้ไกล ส่วนพื้นที่จังหวัดขอนแก่นพบว่าพื้นที่ส่วนใหญ่ที่มีการเพาะปลูกเป็นพื้นที่นาเนื่องจากว่าเป็นพื้นที่ร่วนและทำการเกษตรส่วนใหญ่จะเป็นการทำนาและอ้อยเป็นหลักในตอนบนของจังหวัดพื้นที่ๆ มีค่า  $PM_{10}$  เกินค่ามาตรฐานที่  $120 \mu g/m^3$  ส่วนใหญ่จะอยู่ในพื้นที่การเกษตร นอกจากนี้ยังมีลักษณะของภูมิประเทศเป็นแอ่งภูเขาล้อมรอบโดยเฉพาะจังหวัดเลย ทำให้ฝุ่นละอองที่เกิดจากการเผาแพร่กระจายออกไปได้ช้า แนวทางในการลดฝุ่นยังต้องใช้การช่วยล้างของน้ำฝน ถึงจะช่วยลดความเข้มข้นได้

### การทดสอบความแม่นยำของค่า $PM_{10}$ เชิงเวลา

การนำแบบจำลองไปใช้งานจะต้องทำการทดสอบว่าสามารถนำไปคาดการณ์ฝุ่น  $PM_{10}$  ได้ในระดับที่พอยอมรับได้ในการทดสอบนี้ผู้วิจัยได้ทำการนำแบบจำลองสมการที่ (10) มาใช้เป็นต้นและใช้ข้อมูลค่าการสะท้อนพื้นผิว (Surface Reflectance) ที่ได้จากผลิตภัณฑ์ MOD09 แบบที่ 3 และ 4 ของช่วงเวลาคือเดือน มกราคม, พฤษภาคม และมิถุนายน ปี

2558 มาเป็นตัวอย่างการทดสอบกับค่า  $PM_{10}$  ที่วัดได้จริงจากสถานีวัดของ 3 จังหวัด และใช้ค่า RMSE มาเป็นตัวชี้วัดถึงความคลาดเคลื่อนของแบบจำลอง ผลการทดสอบพบว่าค่า RMSE ของเดือน มกราคมมีค่า (17.89, 22.24, 19.43) ของจังหวัดเลย ขอนแก่นและนครราชสีมาตามลำดับ ค่า RMSE ของเดือน เมษายนมีค่า (18.72, 19.65, 20.46) ของจังหวัดเลย ขอนแก่นและนครราชสีมาตามลำดับและค่า RMSE ของเดือน พฤษภาคมมีค่า (24.14, 22.62, 21.58) ของจังหวัดเลย ขอนแก่นและนครราชสีมาตามลำดับซึ่งจะเห็นว่าการทดสอบที่มีค่า RMSE น้อยๆ แสดงถึงแบบจำลองสามารถทำนายค่า

$PM_{10}$  ได้ดีเข่นในช่วงเดือนมกราคมเนื่องจากว่าเริ่มมีการเผาแปลงเกษตร เช่น อ้อย ข้าวโพดและแปลงนาข้าว เพื่อเตรียมพื้นที่ทำให้เกิดมลพิษที่เกิดจากการเผา夷หรือการเผาเพื่อช่วงเดือนยี่น JULY ทำให้การค่าสะท้อนพื้นผิว (Surface Reflectance) สามารถสะท้อนค่าอนุภาคฝุ่นได้สูงกว่าช่วงเดือนอื่นๆ เพราะว่าความเข้มข้นฝุ่นสูง ส่วนเดือนเมษายนและพฤษภาคมจะมีค่า RMSE ที่สูงขึ้นกล่าวคือต้นเหตุของการเกิดอนุภาคฝุ่นมีน้อยลง เพราะมีการปลูกพืชเกษตร และอาจจะมีพายุฤดูร้อนทำให้เกิดฝนตกลงมาช่วยดูดซึมน้ำภาคฝุ่น ทำให้ความเข้มข้นของอนุภาคฝุ่นเบาบางลงไป

**Table 1** Prediction Model for  $PM_{10}$  on March

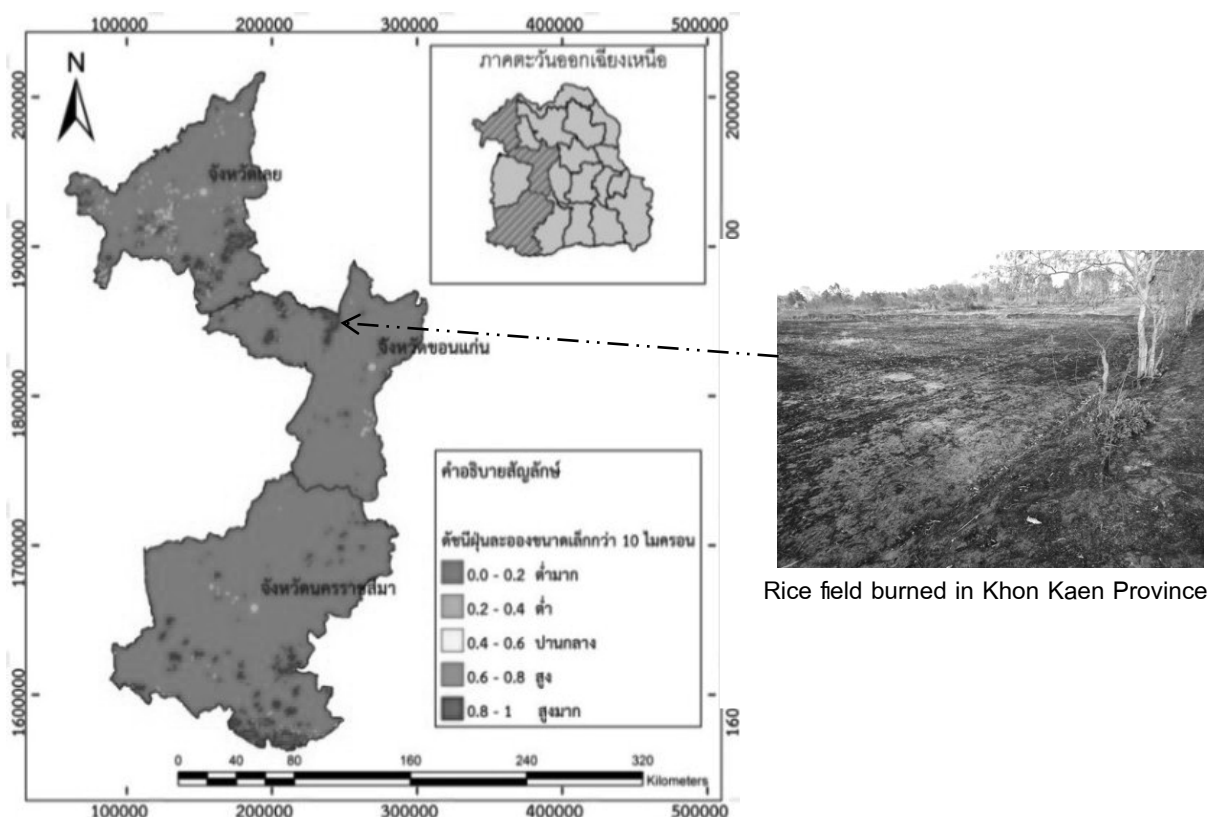
wavelength	regression equation	R <sup>2</sup>	equation
$b_1$	linear	0.402	$PM_{10} = 0.718 + 1295.588(b_1)$
	cubic	0.248	$PM_{10} = 101.012 - 9151.956(b_1)^2 + 119667.027(b_1)^3$
	exponential	0.314	$PM_{10} = 46.201(e)^{0.444(b1)}$
$b_2$	linear	0.411	$PM_{10} = -221.094 + 1615.293(b_2)$
	cubic	0.226	$PM_{10} = -372.471 + 2668.632(b_2)^2 - 7247.77(b2)^3$
	exponential	0.402	$PM_{10} = 8.011(e)^{12.431(b2)}$
$b_3$	linear	0.501	$PM_{10} = -4.2 + 2628.903(b_3)$
	cubic	0.426	$PM_{10} = 89.724 - 20383.783(b_3)^2 + 690714.352(b_3)^3$
	exponential	0.258	$PM_{10} = 44.457(e)^{19.222(b3)}$
$b_4$	linear	0.642	$PM_{10} = -49.027 + 2150.975(b_4)$
	cubic	0.416	$PM_{10} = 132.587 - 1461.105(b_4)^2 + 202200.892(b_4)^3$
	exponential	0.571	$PM_{10} = 31.457(e)^{15.97(b4)}$

**Table 2** Prediction Model for  $PM_{10}$  on April

wavelength	regression equation	R <sup>2</sup>	equation
$b_1$	linear	0.426	$PM_{10} = 127.564 + 255.612(b_1)$
	cubic	0.236	$PM_{10} = -2892.6 + 56226.975(b_1)^2 - 2796000(b_1)^3$
	exponential	0.328	$PM_{10} = 150.984(e)^{-0.605(b1)}$
$b_2$	linear	0.451	$PM_{10} = 65.317 + 420.86(b_2)$
	cubic	0.279	$PM_{10} = -2857.939 + 22655.95(b_2)^2 - 188370.039(b_2)^3$
	exponential	0.402	$PM_{10} = 76.019(e)^{3.211(b2)}$
$b_3$	linear	0.567	$PM_{10} = 121.329 + 644.439(b_3)$
	cubic	0.428	$PM_{10} = -2922.224 + 110393.619(b_3)^2 - 20760000(b_3)^3$
	exponential	0.242	$PM_{10} = 145.998(e)^{-0.387(b3)}$
$b_4$	linear	0.679	$PM_{10} = 111.905 + 494.669(b_4)$
	cubic	0.428	$PM_{10} = -2538.997 + 73708.125(b_4)^2 - 502920.809(b_4)^3$
	exponential	0.621	$PM_{10} = 139.36(e)^{0.404(b4)}$

**Table 3**  $PM_{10}$  Prediction Model using reflectance data derive from AQMS 3 station (February-April 2015)

wavelength	$R^2$	equation
1,2	0.321	$PM_{10} = 236.264(b_1) + 418.029(b_2) + 46.339$
1,3	0.426	$PM_{10} = -201682.919(b_1) + 396895.204(b_3) - 31.346$
1,4	0.512	$PM_{10} = -230.731(b_1) + 739.141(b_4) + 112.801$
2,3	0.432	$PM_{10} = 417.447(b_2) + 609.575(b_3) + 40.1$
2,4	0.512	$PM_{10} = 396.572(b_2) + 282.872(b_4) + 49.087$
3,4	0.742	$PM_{10} = 26.961(b_3) + 480.212(b_4) + 85.836$
1,2,3	0.355	$PM_{10} = -208256.453(b_1) + 621.801(b_2) + 409758.435(b_3) - 157.315$
1,2,4	0.495	$PM_{10} = 184.216(b_1) + 411.824(b_2) + 79.54(b_4) + 45.956$
1,3,4	0.425	$PM_{10} = -259562.455(b_1) + 503502.206(b_3) + 5529.567(b_4) - 184.475$
2,3,4	0.581	$PM_{10} = 433.401(b_2) + 868.909(b_3) - 202.72(b_4) + 41.003$

**Figure 3**  $PM_{10}$  dispersion map on February

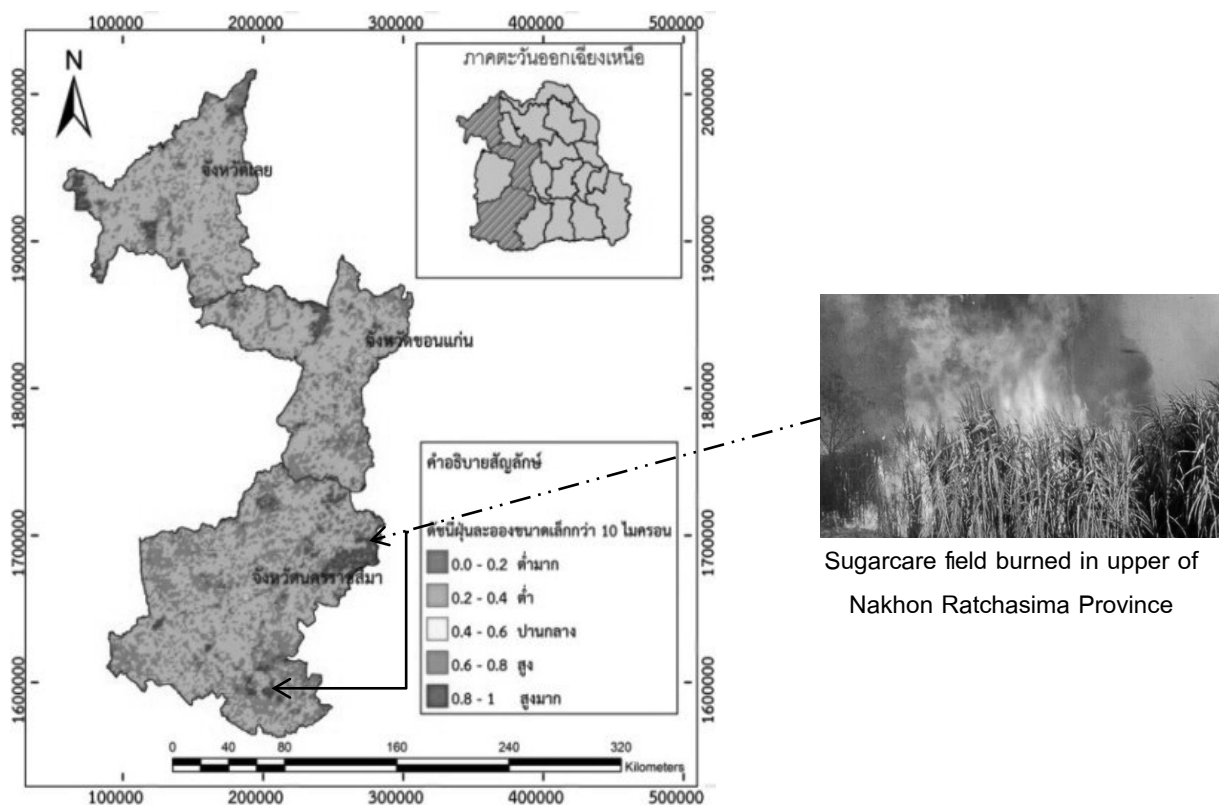


Figure 4 PM<sub>10</sub> dispersion map on March

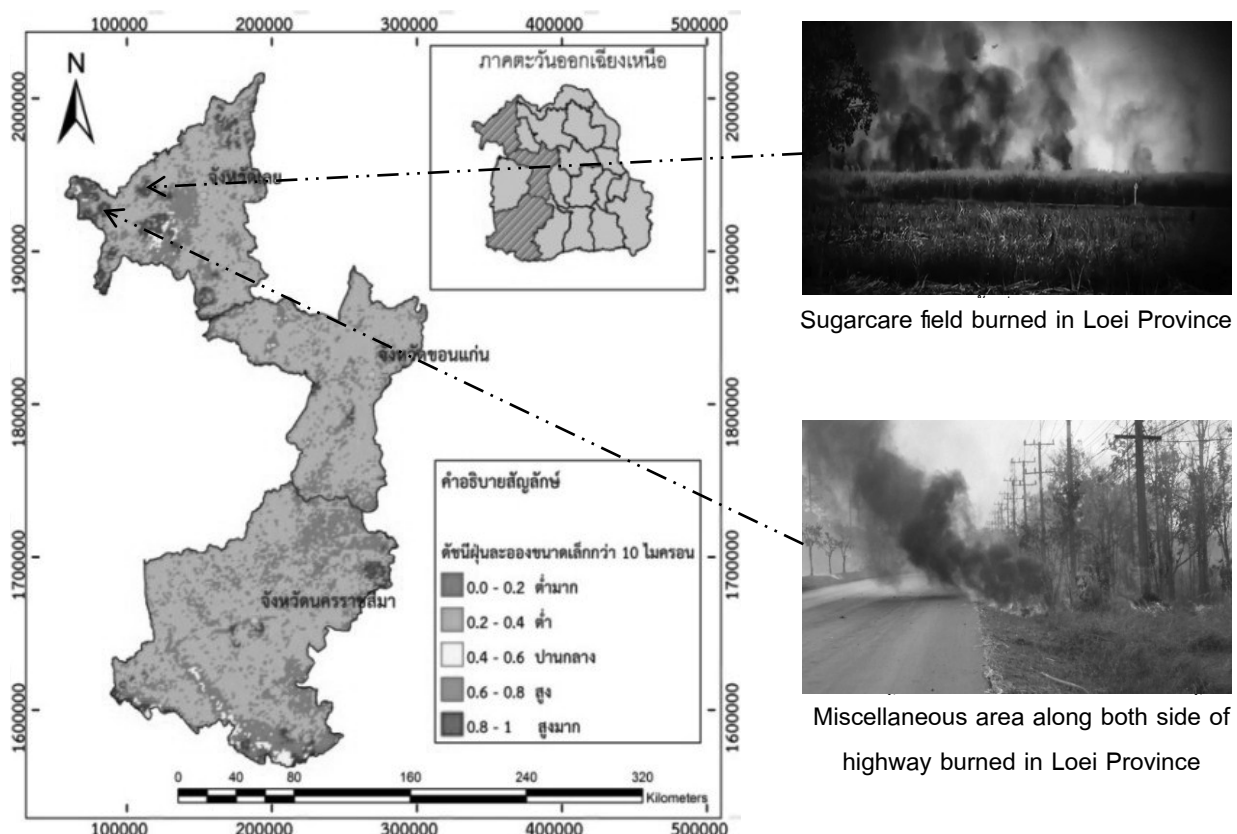


Figure 5 PM<sub>10</sub> dispersion map on April

## สรุปผลการวิจัย

จากการวิจัยในครั้งนี้ ได้บรรลุวัตถุประสงค์ของการศึกษา อันได้แก่ การสามารถใช้ภาพถ่ายดาวเทียมตรวจหาความเข้มข้นของฝุ่นละอองขนาดเล็กกว่า  $10 \text{ } \mu\text{m}$  (PM<sub>10</sub>) บริเวณพื้นที่ภาคตะวันออกเฉียงเหนือของประเทศไทย และการปรับเทียบภาพแบบจำลองที่มีความเหมาะสมสมต่อการตรวจหาความเข้มข้นของฝุ่นละออง และจัดทำแผนที่ความเข้มข้นของฝุ่นละอองบริเวณภาคตะวันออกเฉียงเหนือของประเทศไทยได้ โดยการใช้ค่าสะท้อนพื้นผิว ชุดผลิตภัณฑ์ MOD09 ของดาวเทียม Terra/Aqua – MODIS คำนวนด้วยสมการถดถอย ซึ่งข้อมูลค่าสะท้อนพื้นผิวมีความเหมาะสมในการนำไปใช้ในการวิเคราะห์ข้อมูลต่างๆ เกี่ยวกับบรรยากาศ เนื่องจากเป็นผลิตภัณฑ์ที่แสดงข้อมูลละอองลอยในอากาศ ซึ่งครอบคลุมพื้นที่ ละของโลຍเหล่านั้นมีตั้งแต่ขนาดละเอียด (มลพิษในอากาศ) ไปจนถึงขนาดใหญ่ ครอบคลุมพื้นที่ได้ในบริเวณกว้าง และดาวเทียมโครงการผ่านประเทศไทยในทุกๆ วันของการศึกษาในครั้งนี้ได้ใช้แบบจำลองถดถอยแบบถ่วงน้ำหนักภูมิศาสตร์มาใช้วิเคราะห์ตัวแปรที่ส่งต่อการเกิดและกักขังมลพิษแบบ PM<sub>10</sub> แบบจำลองสามารถคำนวนค่าสัมประสิทธิ์ตัวแปรอิสระที่แตกต่างกันในเชิงพื้นที่ได้ก่อว่าแบบจำลองแบบอื่นที่เคยมีมาเนื่องจากเป็นแบบจำลองแบบ (Local operation) ทำให้สามารถคำนวนค่าสัมประสิทธิ์ให้มีความยึดหยุ่นกว่าแบบจำลอง (Global operation) เนื่องจากว่ามีการเลือกเฉพาะกลุ่มตัวอย่างที่มีการเปลี่ยนแปลงแล้วนำมาสร้างแบบจำลองทำให้แบบจำลอง GWR มีความเหมาะสม

การวิเคราะห์ความสัมพันธ์ระหว่างตัวแปรตามและตัวแปรอิสระในพื้นที่ๆ มีความแตกต่างกันที่แปรผันตามระยะทางได้ก่อว่าแบบจำลองถดถอยเชิงเส้นทั่วๆ ไป แต่สำหรับในการวิจัยครั้งต่อไปเนื่องจากว่าบริเวณภาคตะวันออกเฉียงเหนือของประเทศไทย มีข้อมูลพื้นดินจากสถานีตรวจดูคุณภาพอากาศข้อมูลน้อยและไม่กระจายตัวทั่วทั้งพื้นที่ศึกษา เมื่อเทียบกับข้อมูลของการศึกษาที่ภูมิภาคอื่นๆ ดังนั้นการใช้ข้อมูลจากดาวเทียมระบบเซนเซอร์ MODIS ใน การประเมินความเข้มข้นของปริมาณ PM<sub>10</sub> ในการวิจัยนี้พบว่า ปัจจัยที่มีผลต่อการตรวจหาความสัมพันธ์เพื่อประเมินความเข้มข้นของปริมาณ PM<sub>10</sub> จากข้อมูลดาวเทียมกับข้อมูลที่ได้จากสถานีตรวจดูคุณภาพอากาศ ได้แก่

1) การเก็บข้อมูลของสถานีตรวจดูคุณภาพอากาศ จะมีการรายงานผลแบบรายชั่วโมง แต่ในขณะที่ดาวเทียมทำการถ่ายภาพ อาจมีปัจจัยอื่นๆ ก่อให้เกิดข้อผิดพลาด เช่น ลม ทำให้ค่าการสะท้อนที่ได้จากดาวเทียม และค่าที่ได้จากสถานีตรวจดูคุณภาพอากาศ ไม่มีความสัมพันธ์กัน หรือมีความสัมพันธ์กัน

น้อย ดังนั้นค่าที่ได้จึงไม่ใช่ค่าที่มีความถูกต้องที่สุด

2) เนื่องจากจำนวนสถานีตรวจดูคุณภาพอากาศมีน้อย จึงทำให้จำนวนข้อมูลในการหาความสัมพันธ์กับค่าสะท้อนจากดาวเทียมมีน้อย และทำให้ค่าความสัมพันธ์ที่คำนวนได้มีความคลาดเคลื่อน ทั้งนี้ ค่าที่ได้จากการคำนวน เป็นการประเมินความเข้มข้นของปริมาณ PM<sub>10</sub> อย่างหยาบเท่านั้น

ผู้วิจัยหวังเป็นอย่างยิ่งว่างานวิจัยนี้จะเป็นประโยชน์ และสามารถนำไปใช้ในการวิเคราะห์ข้อมูลเชิงพื้นที่ๆ เกี่ยวกับการกับทำแผนที่ฝุ่นละอองขนาดเล็กในอนาคตได้

## กิตติกรรมประกาศ

โครงการวิจัยนี้ได้รับทุนอุดหนุนการวิจัยจากคณะกรรมการการสารสนเทศ ประจำปีงบประมาณ 2558 มหาวิทยาลัยมหาสารคาม

## เอกสารอ้างอิง

1. กรมควบคุมมลพิษ. คู่มือการตรวจดูคุณภาพอากาศและสภาพอากาศ. สำนักจัดการคุณภาพอากาศและเสียง กรุงเทพฯ. 2546.
2. จิระปรังเขียวและคณะ. “การประยุกต์ใช้ข้อมูลดาวเทียมและระบบสารสนเทศภูมิศาสตร์ในการศึกษาวิเคราะห์ความสัมพันธ์ของพื้นที่ไฟป่ากับการเกิดมลภาวะทางอากาศในพื้นที่แห่งเชียงใหม่-ลำพูน.” [ระบบออนไลน์]. แหล่งที่มา: <http://www.soc.cmu.ac.th/wites/socresearch/51-3.pdf>. (20 กันยายน 2553). 2552.
3. วิราชาพรแก้ว. ไฟป่าแบบใกล้เวลาจริงสำหรับภูมิภาคเอเชียตะวันออกเฉียงใต้โดยภาพถ่าย MODIS สถานีรับภาพถ่ายดาวเทียมสำรวจทรัพยากรธรรมชาติ Terra/Aqua MODIS และ NOAA AVHRR. กรุงเทพฯ : ศูนย์วิจัย Geoinformatics Center (GIC). สถาบันเทคโนโลยีแห่งเอเชีย. 2551.
4. Ahmad, A. and Hashim, M. “DETERMINATION OF HAZE USING NOAA-14 AVHRR SATELLITE DATA.” Image Processing and Application Division Malaysian Centre for Remote Sensing (MACRES). [Online]. <http://www.gisdevelopment.net/aars/acrs/2002/czm/050.pdf>. 2002.
5. Grossi, N. and et al. “Improvement in particles (PM10) urban air quality mapping interpolation using remote sensing data.” [Online]. <http://air.dcea.fct.unl.pt/>

- pt/projects/aircast/ %5Cdocs%5Carticle\_itm2006.pdf.  
2001.
6. Lim, H. S. and et al. "Correlation between satellite observation and PM10 concentration." [Online]. [http://www.gisdevelopment.net/technology/rs/mm001\\_2.htm](http://www.gisdevelopment.net/technology/rs/mm001_2.htm). 2006.
  7. Péré, J.C. and et al. "Mapping of PM10 surface concentrations derived from satellite observations of aerosol optical thickness over South–Eastern France." [Online]. <http://www.sciencedirect.com>. 2007.
  8. Phonekeo, V. "Application of Aerosol Optical Thickness Product (MOD04) to Air Quality Monitoring in Thailand : A Case Study of Bangkok Metropolitan". Geoinformatics Center. Asian Institute of Technology (AIT). 2009.